

ความหลากหลายทางพันธุกรรมและรูปแบบในโครงสร้างหอยเป้าสื้อไทย *Haliotis asinina*
ในโรงเพาะเลี้ยง

นางสาว ธีราภรณ์ รุ่งพิทักษ์มานะ

วิทยานิพนธ์นี้เป็นส่วนหนึ่งของการศึกษาตามหลักสูตรปริญญาวิทยาศาสตรมหาบัณฑิต
สาขาวิชาวิทยาศาสตร์ทางทะเล ภาควิชาวิทยาศาสตร์ทางทะเล
คณะวิทยาศาสตร์ จุฬาลงกรณ์มหาวิทยาลัย
ปีการศึกษา 2550
ลิขสิทธิ์ของจุฬาลงกรณ์มหาวิทยาลัย

GENETIC DIVERSITY AND MICROSATELLITE PATTERNS IN
HATCHERY-PRODUCED THAI ABALONE *Haliotis asinina*

Miss Teeraporn Rungpituckmana

A Thesis Submitted in Partial Fulfillment of the Requirements
for the Degree of Master of Science Program in Marine Science

Department of Marine Science

Faculty of Science

Chulalongkorn University

Academic Year 2007

Copyright of Chulalongkorn University

500443

Thesis Title GENETIC DIVERSITY AND MICROSATELLITE
 PATTERNS IN HATCHERY-PRODUCED THAI
 ABALONE *Haliotis asinina*

By Miss Teeraporn Rungpituckmana

Field of study Marine Science

Thesis Advisor Associate Professor Padermsak Jarayabhand, Ph.D.

Thesis Co-advisor Sirawut Klinbunga, Ph.D.

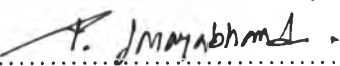
Accepted by the Faculty of Science, Chulalongkorn University in Partial
Fulfillment of the Requirements for the Master's Degree


..... Dean of the Faculty of Science
(Professor Supot Hannongbua, Ph.D.)

THESIS COMMITTEE


..... Chairman

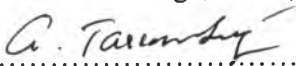
(Assistant Professor Sanit Piyapattanakorn, Ph.D.)


..... Thesis Advisor

(Associate Professor Padermsak Jarayabhand, Ph.D.)


..... Thesis Co-advisor

(Sirawut Klinbunga, Ph.D.)


..... Member

(Professor Anchalee Tassankajon, Ph.D.)

ธีรากรณ์ รุ่งพิทักษ์มานะ : ความหลากหลายทางพันธุกรรมและรูปแบบในโครงเซลล์ของหอยเป้าชื่อไทย *Haliotis asinina* ในโรงเพาะเลี้ยง (GENETIC DIVERSITY AND MICROSATELLITE PATTERNS IN HATCHERY-PRODUCED THAI ABALONE *Haliotis asinina*) อ. ที่ปรึกษา: รศ.ดร.เพดิมศักดิ์ จาระพันธุ์, อ.ที่ปรึกษาร่วม: ดร.ศิริวุฒิ กลั่นบุญเจ 87 หน้า

จากการศึกษาความหลากหลายทางพันธุกรรมของหอยเป้าชื่อไทย *Haliotis asinina* ในโรงเพาะเลี้ยงจำนวน 2 กลุ่ม (G8 และ B; N=102 และ N=120) และหอยเป้าชื่อธรรมชาติจากเกาะตะลิบง จังหวัดตรัง (N=14-25) โดยการวิเคราะห์ในโครงเซลล์ໄลท์จำนวน 5 ตำแหน่ง พับจำนวนอัลลิลที่ตำแหน่ง *CUHas2*, *CUHas3*, *CUHas8*, *Haμ2J* และ *Haμ13* ในตัวอย่างทั้งหมดจำนวน 9, 14, 14, 7 และ 6 อัลลิล ตามลำดับ มีขนาดของอัลลิโลยู่ในช่วง 310-352, 155-183, 144-220, 228-240 และ 124-135 คู่เบส โดยพบจำนวนอัลลิลในทุกตำแหน่ง ยกเว้นอัลลิลที่ตำแหน่ง *Haμ2J* ในหอยเป้าชื่อจากโรงเพาะเลี้ยงมีจำนวนมากกว่าหอยเป้าชื่อจากเกาะตะลิบง ทั้งนี้ค่า discrimination capacity ในหอยเป้าชื่อจากโรงเพาะเลี้ยงกลุ่ม G8, B และหอยเป้าชื่อจากเกาะตะลิบง มีค่าเท่ากับ 0.175 ± 0.096 , 0.216 ± 0.133 และ 0.349 ± 0.201 ตามลำดับ ค่าเชทเทอโรไซโกซิตี (observed heterozygosity) ของหอยเป้าชื่อจากโรงเพาะเลี้ยงกลุ่ม G8 และ B อยู่ในช่วง 0.69 ± 0.308 และ 0.56 ± 0.241 ซึ่งมีค่าสูงกว่าหอยเป้าชื่อจากเกาะตะลิบง (0.52 ± 0.180) ค่า power of discrimination, power of exclusion และ matching probability ของในโครงเซลล์ที่ใช้ในการศึกษา ในหอยเป้าชื่อจากโรงเพาะเลี้ยงกลุ่ม G8 (0.99989445 , 0.9936054 และ 0.0001055), B (0.9999898 , 0.9137856 และ 0.0000102), โรงเพาะเลี้ยงทั้งสองกลุ่ม (0.9999961 , 0.9606105 และ 0.0000039) และหอยเป้าชื่อจากเกาะตะลิบง (0.9994288 , 0.7894797 และ 0.0005712) มีค่าใกล้เคียงกัน จากข้อมูลในโครงเซลล์ที่ได้สามารถคำนวณหาระยะห่างจำนวนพ่อแม่ของหอยเป้าชื่อที่ใช้ทำการผลิตหอยเป้าชื่อในโรงเพาะเลี้ยงทั้งสองกลุ่มจากจีโนไทป์ของลูก โดยพบพ่อและแม่รุ่นก่อนที่ใช้ในการผลิตแต่ละกลุ่มอย่างละ 10 ตัว ซึ่งมีค่า effective number of population size (N_e) และสัมประสิทธิ์การผสมเลือดชิด (inbreeding coefficient) ของหอยเป้าชื่อจากโรงเพาะเลี้ยงแต่ละกลุ่มเท่ากับ 20 ตัว และ 2.5% ต่อรุ่น ผลจากการศึกษาระยะห่างนี้พบว่าความหลากหลายทางพันธุกรรมของหอยเป้าชื่อ *H. asinina* มีค่าค่อนข้างสูง แต่จำนวนพ่อแม่ที่ใช้ในการผลิตลูกในโรงเพาะเลี้ยงมีจำนวนน้อย

เมื่อทดสอบความสัมพันธ์ระหว่างจีโนไทป์ของในโครงเซลล์ໄลท์กับจำนวนหอยเป้าชื่อในโรงเพาะเลี้ยง กลุ่ม B โดยการวิเคราะห์ simple linear regression พบความสัมพันธ์อ่อนบ้างมีนัยสำคัญทางสถิติที่ตำแหน่ง *Haμ13* ($P < 0.05$) แต่ไม่พบความสัมพันธ์อ่อนบ้างมีนัยสำคัญทางสถิติที่ตำแหน่งอื่นๆ ($P > 0.05$) โดยหอยเป้าชื่อที่มีจีโนไทป์ไม่ใช่โภคิตี และเชทเทอโรไซโกซิตีที่อัลลิล 128 จะมีจำนวนตัว ($3.477 \pm 0.735 - 7.430 \pm 0.099$) ซึ่งค่ากว่าจำนวนหอยเป้าชื่อของตัวอย่างทั้งหมดของกลุ่ม B (7.60 ± 2.758 , $N = 280$) นอกจากนี้ยังพบความแตกต่างระหว่างจำนวนหอยเป้าชื่อในโรงเพาะเลี้ยง กลุ่ม B กับจีโนไทป์ (เช่น ความแตกต่างระหว่างโภคิตีและเชทเทอโรไซโกซิตีที่อัลลิล 124 กับอัลลิล 128) เมื่อวิเคราะห์ผลการทดลองด้วย ANOVA และ Duncan's new multiple range test ($P < 0.05$)

ข้อมูลเกี่ยวกับความหลากหลายทางพันธุกรรมและความสัมพันธ์ระหว่างจีโนไทป์ของในโครงเซลล์ໄลท์กับพื้นที่ในไทย (จำนวนหอยเป้าชื่อ) สามารถนำไปประยุกต์ใช้ในการเพิ่มประสิทธิภาพของการปรับปรุงพันธุ์ในหอยเป้าชื่อที่มีความสำคัญทางเศรษฐกิจชนิดนี้ได้

ภาควิชา.....	วิทยาศาสตร์ทางทะเล.....	ลายมือชื่อ.....	จีรากรณ์ บุตทากุล
สาขาวิชา.....	วิทยาศาสตร์ทางทะเล.....	ลายมือชื่ออาจารย์ที่ปรึกษา.....	ดร.ศิริวุฒิ กลั่นบุญเจ
ปีการศึกษา.....	2550.....	ลายมือชื่ออาจารย์ที่ปรึกษาร่วม.....	ดร.ศิริวุฒิ กลั่นบุญเจ

4872320523 : MAJOR MARINE SCIENCE

KEY WORD: *Haliotis asinina* / MICROSATELLITE / GENETIC DIVERSITY

TEERAPORN RUNGPITUCKMANA: GENETIC DIVERSITY AND MICROSATELLITE PATTERNS IN HATCHERY-PRODUCED THAI ABALONE *Haliotis asinina*. THESIS ADVISOR: ASSOC. PROF. PADERMSAK JARAYABHAND, Ph.D., THESIS CO-ADVISOR: SIRAWUT KLINBUNGA, Ph.D., 87 pp.

Genetic diversity of hatchery-propagated stocks (G8, $N = 102$ and B, $N = 120$) and a wild sample originating from Talibong Island ($N = 14 - 25$) of the tropical abalone (*Haliotis asinina*) were examined at 5 microsatellites loci. A total number of alleles per locus at *CUHas2*, *CUHas3*, *CUHas8*, *Hau2J* and *Hau13* across all samples were 9, 14, 14, 7 and 6 alleles, respectively. Sizes of allele distribution were 310 - 352, 155 - 183, 144 - 220, 228 - 240 and 124 - 135 bp, respectively. The number of *CUHas2*, *CUHas3*, *CUHas8* and *Hau13* alleles in the hatchery-propagated abalone was greater than that of the Talibong sample. In contrast, that of the *Hau2J* locus in the wild sample (6 alleles) was greater than the hatchery samples (4 alleles). The discrimination capacity was 0.175 ± 0.096 , 0.216 ± 0.133 and 0.349 ± 0.201 for G8, B hatchery samples and the Talibong sample, respectively. Observed heterozygosity in the respective hatchery samples was 0.69 ± 0.308 and 0.56 ± 0.241 which is slightly greater than that of the Talibong sample (0.52 ± 0.180). The power of discrimination, power of exclusion and matching probability of this set of microsatellites in G8 (0.99989445, 0.9936054 and 0.0001055), B (0.9999898, 0.9137856 and 0.0000102), combined hatchery samples (0.9999961, 0.9606105 and 0.0000039) and Talibong (0.9994288, 0.7894797 and 0.0005712) samples were comparable. The number of contributed founders of the previous generation was inferred from offspring genotypes and found that 10 males and 10 females contributed for each hatchery sample. The estimated effective number of population size (N_e) and inbreeding coefficient of each hatchery stock was 20 individuals and 2.5% per generation. Results from this study indicated relatively high levels of genetic diversity but limited numbers of contributed founders from the previous generation of the hatchery stock of *H. asinina*.

In addition, preliminary association analysis between microsatellite genotypes and the body weight of the hatchery B sample was examined. A simple linear regression indicated significant correlation between those factors at the locus *Hau13* ($P < 0.05$) but not other loci ($P > 0.05$). Interestingly, abalone carrying homo- and heterozygotic status of the 128 allele had a lower body weight ($3.477 \pm 0.735 - 7.430 \pm 0.099$) than the average weight of the B sample (7.60 ± 2.758 , $N = 280$). Significant differences between the body weight of the B sample having different genotypes (e.g. between homozygotes and heterozygotes carrying the 124 alleles and those carrying the 128 allele) were found when analyzed by ANOVA and the *post hoc* Duncan's new multiple range test ($P < 0.05$). The possible correlation between microsatellite genotype and phenotype (the body weight) was preliminary illustrated. Results on genetic diversity and possible correlation between genotypes and a phenotype (body weight) can be applied to promote the efficiency of breeding programs of this economically important species.

Department :.....Marine Science.....Student's signature :.....Teeraporn Rungpituckmana
 Field of study :.....Marine Science.....Advisor's signature :.....P. Jarayabhand
 Academic year :.....2007.....Co-advisor's signature :.....S. Klunbunga

ACKNOWLEDGEMENTS

I would like to express my deepest sense of gratitude to my advisor, Assoc. Prof. Dr. Padermsak Jarayabhand for his guidance, suggestions, encouragement and support throughout my thesis and my co-advisor, Dr. Sirawut Klinbunga for his great helps, guidance, encouragement, valuable suggestion and supports throughout my study.

I would like to acknowledge the National Center for Genetic Engineering and Biotechnology (BIOTEC), National Science and Technology Development Agency (NSTDA) for laboratory facilities.

In addition, I would also like to extend my special thanks to Dr. Bavornlak Khamnamtong, and Miss Ratchanimuk Preechapol for their great suggestion about my works. I also thank Miss Kanchana Sittikhankeaw Miss Natechanok Thamniemdee and Miss Sirikan Prasertlux for best friendship and great help during my research in our laboratory.

Finally, I would like to express my deepest gratitude to my beloved parents, family and relative for their love, care, understanding and encouragement extended throughout my live.

CONTENTS

	Page
ABSTRACT (THAI).....	iv
ABSTRACT (ENGLISH).....	v
ACKNOWLEDGMENTS.....	vi
CONTENTS.....	vii
LIST OF TABLES.....	xi
LIST OF FIGURES.....	xiii
LIST OF ABBREVIATIONS.....	xvi
CHAPTER I INTRODUCTION.....	1
1.1 General introduction.....	1
1.2 Objectives	4
1.3 Beneficial	4
CHAPTER II LITERATURE REVIEW.....	5
2.1 Taxonomy of <i>Haliotis asinina</i>	5
2.2 Morphology and anatomy.....	5
2.3 Life cycle	8
2.4 Habitat and distributions	10
2.5 Molecular genetic techniques used in the thesis.....	11
2.5.1 Polymerase chain reaction (PCR).....	11
2.5.2 Microsatellites	12
2.6 Application of microsatellite	14

	Page
2.6.1 Application of microsatellites for genetics and fisheries management.....	14
2.6.2 Application of microsatellite for domestication and breeding programs.....	15
2.6.3 Genetic studies of abalone using microsatellites.....	17
CHAPTER III MATERIALS AND METHODS.....	21
3.1 Samples	21
3.2 DNA extraction.....	22
3.3 Measuring DNA concentrations using electrophoresis and spectrophotometer	23
3.3.1 Estimation of DNA and RNA concentration by spectrophotometry.....	23
3.3.2 Estimation of the amount of DNA by mini-gel electrophoresis.....	24
3.4 Polymerase Chain Reaction (PCR) using homospecific microsatellite primers of <i>H. asinina</i>	24
3.5 Agarose gel electrophoresis	26
3.6 Polyacrylamide gel electrophoresis.....	26
3.6.1 Preparation of glass plates	26
3.6.2 Preparation of denaturing polyacrylamide gel electrophoresis.	27
3.6.3 Electrophoresis.....	27
3.6.4 Silver staining.....	28
3.7 Scoring of microsatellite alleles.....	28
3.8 Data analysis.....	29
3.8.1 Genetic variation and heterozygosity.....	29

	Page
3.8.2 Discrimination capacity (DC)	29
3.8.3 Hardy-Weinberg equilibrium.....	29
3.8.4 Parameters to indicate the ability to carry out individuality and parentage analysis of each microsatellite locus was calculated	30
3.8.4.1 Matching probability (MP).....	30
3.8.4.2 Power of discrimination (PD)	30
3.8.4.3 Power of exclusion (PE).....	30
3.8.5 The effective population size and inbreeding coefficient.....	31
3.8.6 Genetic heterogeneity between subgroups of the hatchery-propagated <i>H. asinina</i>	31
3.8.7 Association analysis of microsatellite genotypes and the body weight in the hatchery sample (B) of <i>H. asinina</i>	32
CHAPTER IV RESULTS.....	33
4.1 DNA extraction.....	33
4.2 Genetic diversity of hatchery-produced and wild of <i>H. asinina</i>	34
4.2.1 Genetic variation within sample.....	39
4.2.2 Hardy-Weinberg disequilibrium of <i>H. asinina</i> microsatellites in Talibong samples.....	46
4.2.3 The effective number population size and inbreeding coefficient of hatchery stocks.....	49
4.3 The use of microsatellite polymorphism to predict association between genotypes and the body weight of the hatchery (B) sample	51
4.3.1 Allele distribution patterns in subgroups of the B sample.....	51
4.3.2 Genetic heterogeneity between subgroups of the hatchery <i>H. asinina</i>	54

	Page
4.3.3 Association analysis of microsatellite genotypes and the body weight in the hatchery sample (B) of <i>H. asinina</i>	57
CHAPTER V DISCUSSION.....	59
CHAPTER VI CONCLUSIONS	67
REFERENCES.....	68
APPENDIX.....	74
BIOGRAPHY.....	87

LIST OF TABLES

	Page
Table 1.1 Commercial important abalone species	2
Table 3.1 Date of culture, collection date and age at the collection date of samples used in this thesis.....	22
Table 3.2 Nucleotide sequence and melting temperature of microsatellite primers for <i>H. asinina</i>	24
Table 3.3 PCR condition used for amplification of genomic DNA of <i>H. asinina</i>	25
Table 4.1 Amplification success of 9 microsatellites (<i>CUHas1</i> , <i>CUHas2</i> , <i>CUHas3</i> , <i>CUHas5</i> , <i>CUHas8</i> , <i>Hap2J</i> , <i>Hap3C</i> , <i>Hap10</i> and <i>Hap13</i>) initially screened against genomic DNA of representative <i>H. asinina</i> individuals.....	36
Table 4.2 Genetic heterogeneity analysis in 2 groups (G8; 4 months and G8; 8 months) of hatchery <i>H. asinina</i> based on five microsatellite loci (<i>CUHas2</i> , <i>CUHas3</i> , <i>CUHas8</i> , <i>Hap2J</i> and <i>Hap13</i>)	39
Table 4.3 Allele size (in base pairs) at the <i>CUHas2</i> , <i>CUHas3</i> , <i>CUHas8</i> , <i>Hap2J</i> and <i>Hap13</i> loci and its frequency distribution in G8 and B (hatchery) and Talibong Island (wild) samples.....	44
Table 4.4 Sample size, size ranges, number of alleles, observed and expected heterozygosity at <i>CUHas2</i> , <i>CUHas3</i> , <i>CUHas8</i> , <i>Hap2J</i> and <i>Hap13</i> loci of G8 and B (hatchery) and Talibong Island (wild) samples of <i>H. asinina</i>	46
Table 4.5 The number of alleles per locus, discrimination capacity and mean heterozygosity of investigated samples	47

	Page
Table 4.6 Hardy-Weinberg expectations at five microsatellite loci of the Talibong sample.....	47
Table 4.7 Parameter showing the discrimination ability of microsatellite loci for parentage assignment of <i>H. asinina</i> in this study	48
Table 4.8 Number of fathers and mothers, number of mutations, mutation rate and calculated parameters of the G8 sample (only data from 17 sampling times are shown).....	49
Table 4.9 Number of fathers and mothers, number of mutations, mutation rate and calculated parameters of the B sample (only data from 21 sampling times are shown).....	50
Table 4.10 Allele sizes (in base pairs) at the <i>CUHas2</i> , <i>CUHas3</i> , <i>CUHas8</i> , <i>Hau2J</i> and <i>Hau13</i> loci and its frequency distribution in 3 groups (BL, BM and BS) of hatchery (B) <i>H. asinina</i>	55
Table 4.11 Genetic heterogeneity analysis in 3 groups (BL, BM and BS) of hatchery (B) <i>H. asinina</i> based on five microsatellite loci (<i>CUHas2</i> , <i>CUHas3</i> , <i>CUHas8</i> , <i>Hau2J</i> and <i>Hau13</i>).....	56
Table 4.12 Correlation between genotype and the body weight in the hatchery sample (B) of <i>H. asinina</i> based on five microsatellite loci	58
Table 4.13 Statistical analysis to indicate differences in body weight of the hatchery sample (B) of <i>H. asinina</i> carrying different <i>Hau13</i> genotypes.....	58

LIST OF FIGURES

	Page
Figure 2.1 Tropical abalone <i>Haliotis asinina</i>	6
Figure 2.2 Ventral view of anatomy of abalone	8
Figure 2.3 Life Cycle of abalone	9
Figure 2.4 General illustration of PCR	12
Figure 3.1 Epipodial tentacles (arrow) of abalone	21
Figure 3.2 Diagram showing the sampling collection scheme of the group B sample used for association analysis between microsatellite genotype and the body weight of abalone...	22
Figure 4.1 Genomic DNA extracted from the epipodial tentacles tissue of <i>H. asinina</i> . The extracted DNA was electrophoresed through 1.0 % agarose gel and stained with ethidium bromide.....	33
Figure 4.2 A 1.0% ethidium bromide stained agarose gel showing the amplification products resulted at <i>CUHas1</i> (a), <i>CUHas5</i> (b), <i>Haμ3C</i> (c) and <i>Haμ10</i> (d) loci against genomic DNA of <i>H. asinina</i> (Lanes 1-4). Lanes M and N are a 100 bp DNA ladder and the negative control (without the DNA template), respectively.....	34
Figure 4.3 A 1.0% ethidium bromide stained agarose gel showing the amplification products resulted from <i>CUHas2</i> (a), <i>CUHas3</i> (b), <i>CUHas8</i> (c), <i>Haμ2J</i> (d) and <i>Haμ13</i> (e) primers against genomic DNA of <i>H. asinina</i> (Lanes 1-5, 7). Lanes M and N are a 100 bp DNA ladder and the negative control (without the DNA template), respectively.....	35

	Page
Figure 4.4 Microsatellite patterns at the locus <i>CUHas2</i> of hatchery (A) and wild (B) <i>H. asinina</i> . Sizes of microsatellite alleles were determined by comparing with the M13 sequencing ladder	36
Figure 4.5 Microsatellite patterns at the locus <i>CUHas3</i> (lanes 1-10) of hatchery (A) and wild (B) <i>H. asinina</i> . Sizes of microsatellite alleles were determined by comparing with the M13 sequencing ladder.....	37
Figure 4.6 Microsatellite patterns at the locus <i>CUHas8</i> of wild (lanes 1-9) and hatchery (lanes 10-17) <i>H. asinina</i> . Sizes of microsatellite alleles were determined by comparing with the M13 sequencing ladder.....	37
Figure 4.7 Microsatellite patterns at the locus <i>Haμ2J</i> of wild (lanes 1-7) and hatchery (lanes 8-17) of <i>H. asinina</i> . Sizes of microsatellite alleles were determined by comparing with the M13 sequencing ladder.....	38
Figure 4.8 Microsatellite patterns at the locus <i>Haμ13</i> of wild (lanes 1-6) and hatchery (lanes 7-16) <i>H. asinina</i> . Sizes of microsatellite alleles were determined by comparing with the M13 sequencing ladder.....	38
Figure 4.9 Alleles distribution frequencies at the <i>CUHas2</i> locus of <i>H. asinina</i> from G8 (hatchery, $N = 100$), B (hatchery, $N = 117$) and Talibong Island ($N = 14$).....	41
Figure 4.10 Alleles distribution frequencies at the <i>CUHas3</i> locus of <i>H. asinina</i> from G8 (hatchery, $N = 102$), B (hatchery, $N = 120$) and Talibong Island ($N = 23$).....	41
Figure 4.11 Alleles distribution frequencies at the <i>CUHas8</i> locus of <i>H. asinina</i> from G8 (hatchery, $N = 102$), B (hatchery, $N = 120$) and Talibong Island ($N = 25$).	42

	Page
Figure 4.12 Alleles distribution frequencies at the <i>Hap2J</i> locus of <i>H. asinina</i> from G8 (hatchery, $N = 102$), B (hatchery, $N = 120$) and Talibong Island ($N = 25$)	42
Figure 4.13 Alleles distribution frequencies at the <i>Hap13</i> locus of <i>H. asinina</i> from G8 (hatchery, $N = 102$), B (hatchery, $N = 120$) and Talibong Island ($N = 25$).....	43
Figure 4.14 Alleles distribution frequencies at the <i>CUHas2</i> locus of 3 groups (BL, BM and BS) of hatchery (B) <i>H. asinina</i>	52
Figure 4.15 Alleles distribution frequencies at the <i>CUHas3</i> locus of 3 groups (BL, BM and BS) of hatchery (B) <i>H. asinina</i>	52
Figure 4.16 Alleles distribution frequencies at the <i>CUHas8</i> locus of 3 groups (BL, BM and BS) of hatchery (B) <i>H. asinina</i>	53
Figure 4.17 Alleles distribution frequencies at the <i>Hap2J</i> locus of 3 groups (BL, BM and BS) of hatchery (B) <i>H. asinina</i>	53
Figure 4.18 Alleles distribution frequencies at the <i>Hap13</i> locus of 3 groups (BL, BM and BS) of hatchery (B) <i>H. asinina</i>	54

LIST OF ABBREVIATIONS

bp	base pair
°C	degree Celcius
dATP	deoxyadenosine triphosphate
dCTP	deoxycytosine triphosphate
dGTP	deoxyguanosine triphosphate
dTTP	deoxythymidine triphosphate
DNA	deoxyribonucleic acid
HCl	hydrochloric acid
Kb	kilobase
M	Molar
MgCl ₂	magnesium chloride
mg	milligram
ml	milliliter
mM	millimolar
NaCl	sodium chloride
ng	nanogram
OD	optical density
PCR	polymerase chain reaction
rpm	revolution per minute
RNA	ribonucleic acid
RNase A	ribonuclease A
SDS	sodium dodecyl sulfate
Tris	tris (hydroxyl methyl) aminomathane
μg	microgram

μl	microlitre
μM	micromolar
UV	ultraviolet